

第 5 章 窄带随机过程

5.1 证明:

- (1) 偶函数的希尔伯特变换为奇函数;
- (2) 奇函数的希尔伯特变换为偶函数.

5.2 设 $A(t)$ 与 $\varphi(t)$ 为低频信号, 证明:

- (1) $\mathcal{H}\{A(t) \cos[\omega_0 t + \varphi(t)]\} = A(t) \sin[\omega_0 t + \varphi(t)];$
- (2) $\mathcal{H}\{A(t) \sin[\omega_0 t + \varphi(t)]\} = -A(t) \cos[\omega_0 t + \varphi(t)].$

证明

- (1)
- (2)

5.3 证明广义平稳过程 $X(t)$ 与其希尔伯特 $\hat{X}(t)$ 的相关函数存在下述关系:

- (1) $R_{X\hat{X}}(\tau) = -\hat{R}_X(\tau);$
- (2) $R_{\hat{X}X}(\tau) = \hat{R}_X(\tau);$
- (3) $R_{\hat{X}}(\tau) = R_X(\tau);$
- (4) $R_{X\hat{X}}(\tau)$ 是奇函数.

5.4 设 $X(t)$ 的解析信号为 $Z(t) = X(t) + j\hat{X}(t)$:

- (1) 证明 $E[Z(t)Z^*(t-\tau)] = 2[R_X(\tau) + j\hat{R}_X(\tau)];$
- (2) 证明 $E[Z(t)Z(t-\tau)] = 0.$

5.5 设一个线性系统输入为 $X(t)$ 时, 相应的输出为 $Y(t)$. 证明若该系统的输入为 $X(t)$ 的希尔伯特变换 $\hat{X}(t)$, 则相应的输出为 $Y(t)$ 的希尔伯特变换 $\hat{Y}(t)$.

5.6 在复随机过程 $Z(t) = X(t) + jY(t)$ 中, 如果 $Z(t)$ 的均值 $E[Z(t)] = E[X(t)] + jE[Y(t)] = m_Z$ 是复常数, 且 $Z(t)$ 的自相关函数 $E[Z(t)Z^*(t-\tau)] = R_Z(\tau)$ 为仅与 τ 有关的复函数, 则称 $Z(t)$ 为复平稳随机过程. 设 $A_k (k = 1, 2, \dots, n)$ 是 n 个实随机变量, $\omega_k (k = 1, 2, \dots, n)$ 是 n 个实数, 试问 A_k 应该满足怎样的条件才能使

$$Z(t) = \sum_{k=1}^n A_k e^{j\omega_k t}$$

是一个复平稳随机过程.

5.7 设有复随机过程

$$Z(t) = \sum_{i=1}^n (\alpha_i \cos \omega_i t + j\beta_i \sin \omega_i t)$$

其中 α_i 与 β_k 是相互独立的随机变量, α_i 与 α_k 、 β_i 与 $\beta_k (i \neq k)$ 是相互正交的, 数学期望和方差分别为 $E[\alpha_i] = E[\beta_i] = 0, \sigma_{\alpha_i}^2 = \sigma_{\beta_i}^2 = \sigma_i^2$. 求其复随机过程的相关函数.

5.8 设信号 $X(t)$ 的带宽限制在 Ω 上, 证明信号预包络模平方的带宽为 2Ω .

5.9 对于调频信号 $X(t) = \cos [\omega_c t + m(t)]$, 设 $dm(t)/dt \leq \omega_c$, 即为窄带信号, 求该信号的复包络和包络的表示式.

5.10 证明

$$G_c(\omega) = G_s(\omega) = \frac{1}{2} [1 + \operatorname{sgn}(\omega + \omega_0)] G_Y(\omega + \omega_0) + \frac{1}{2} [1 - \operatorname{sgn}(\omega - \omega_0)] G_Y(\omega - \omega_0)$$

以及

$$G_{cs}(\omega) = \frac{j}{2} [1 + \operatorname{sgn}(\omega + \omega_0)] G_Y(\omega + \omega_0) - \frac{j}{2} [1 - \operatorname{sgn}(\omega - \omega_0)] G_Y(\omega - \omega_0).$$

5.11 设功率密度为 $N_0/2$ 的零均值白高斯噪声通过一个理想带通滤波器, 此滤波器的增益为 1, 中心频率为 f_c , 带宽为 $2B$. 求滤波器输出的窄带过程 $n(t)$ 和它的同相及正交分量的自相关函数 $R_n(\tau)$, $R_{n_c}(\tau)$ 和 $R_{n_s}(\tau)$.

5.12 考虑如图所示的 RLC 带通滤波器. 设滤波器的品质因数 $Q \gg 1$, 输入是功率谱密度为 $N_0/2$ 的零均值白高斯噪声 $W(t)$, 求滤波器输出端的窄带过程 $n(t)$ 和它的同相及正交分量功率谱密度 $R_n(\tau)$, $R_{n_c}(\tau)$ 和 $R_{n_s}(\tau)$, 并以图示之.

5.13 相关函数为 $R_X(\tau) = \sigma_X^2 e^{-\alpha|\tau|} \cos \omega_0 \tau$ 的窄带随机平稳过程可以表示为 $X(t) = A_c(t) \cos \omega'_0 t - A_s(t) \sin \omega'_0 t$, 试在 (1) $\omega'_0 \neq \omega$; (2) $\omega'_0 = \omega$ 的条件下, 分别求出相关函数 $R_c(\tau)$, R_s 及互相关函数 $R_{cs}(\tau)$.

5.14 考虑窄带高斯过程 $n(t) = X(t) \cos \omega_c t - Y(t) \sin \omega_c t$, 假定功率谱密度对称于载频 ω_c , 求概率密度 $f(x_t, x_{t-x}, y_t, y_{t-\tau})$.

5.15 设 $A(t)$ 为平稳的窄带正态过程的包络, 试证:

$$E[A(t)] = \sqrt{\frac{\pi}{2}} \sigma_X, \quad \sigma_A^2 = D[A(t)] = \left(2 - \frac{\pi}{2}\right) \sigma_X^2,$$

其中 σ_X^2 为正态过程的方差.

5.16 χ 变量为 χ^2 变量的平方根, 证明 n 个自由度的 χ 变量的概率密度为

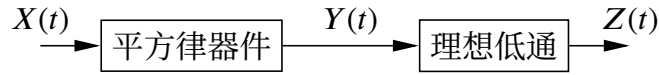
$$f(\chi) = \frac{\chi^{n-1} e^{-\chi^2/2}}{2^{\frac{n-2}{2}} \Gamma\left(\frac{n}{2}\right)}.$$

5.17 证明 n 个自由度的 χ^2 变量的第 m 阶中心矩为

$$2^m \left(\frac{n}{2}\right) \left(\frac{n}{2} + 1\right) \cdots \left(\frac{n}{2} + m - 1\right).$$

5.18 一检波器如图所示, 其中非线性器件部分的传输特性为 $y = bx^2$. 设输入信号 $X(t)$ 为一窄带正态噪声, 且可表示为 $X(t) = V(t) \cos [\omega_c t + \varphi(t)]$, 其概率密度为

$$f_X(x) = \frac{1}{\sqrt{2\pi}\sigma_X} \exp \left[-\frac{x^2}{2\sigma_X^2} \right].$$



求 $Z(t)$ 的概率密度、均值和方差.

5.19 在平方律包络检波器输入端加以窄带随机电压信号, 其包络 $A(t)$ 服从瑞利分布

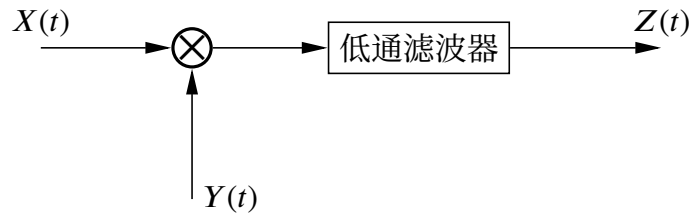
$$f_A(A_t) = \frac{A_t}{\sigma^2} \exp\left[-\frac{A_t^2}{2\sigma^2}\right] \quad (A_t \geq 0).$$

求在 $Y(t) = \frac{\alpha^2}{2} A^2(t)$ 时, 检波器 $Y(t)$ 输出的概率密度、均值和方差.

5.20 同步检波器如图所示, 设 $X(t)$ 为以窄带平稳噪声, 其相关函数为

$$R_x(\tau) = \sigma_X^2 e^{-\alpha|\tau|} \left(\cos \omega_0 \tau + \frac{\alpha}{\omega_0} \sin \omega_0 |\tau| \right) \quad (\alpha \ll \omega_0),$$

而 $Y(t) = A \sin \omega_0 t$ 为一确定性信号, 求同步检波器输出端的平均功率 P_Z .



5.21 双边带抑制载波调制和单边带调制中, 若消息信号均为 3kHz 限带低频信号, 载频为 1MHz, 接收信号功率为 1mW, 加性白色高斯噪声双边带功率皮密度为 $10^{-3} \mu\text{W}/\text{Hz}$.

- (1) 比较调解器输入信噪比;
- (2) 比较调解器输出信噪比.